

熊本大学工学部

正員 秋吉 卓

八代工業高等専門学校

正員 別田 邦彦

熊本大学工学部

学生員 ○鷹木 秀人

1. まえがき 杭の支持力に関しては、多くの理論的実験的な研究が報告されてきた。土を弾性体として<sup>(1),(2)</sup>運動的な取扱いより、杭の動的支持力について多くの知見が得られたが、さらにはFEMなどにより土の非線形的取扱いが可能となりつつある。しかるに、杭の鉛直振動では、これまで杭と土の完全密着を仮定するところが多く、実験と対応するためには微少変形を前提とせざるを得なかった。そこで本研究では、杭と土は線形を保ちつつ、その接触面ですべりを許すような、一近似解析法を提案しようとするものである。本解析手法は、基本的にはモード分解による波動論に基づいており、埋設管の動的解析との類似性もある。結果は、従来の完全密着の解と杭のみの解との中間に位置することが示され、かつすべりを引起する限界荷重等についても数値的に検討した。

## 2. 解析手法 図-1のような鉛直支持杭が、側方より等方均質な線形

地盤に支持されている系を考える。鉛直変位 $w(r, z, t)$ のみを考えた土層<sup>(2)</sup>の運動方程式は、境界条件(i)  $z=0$  で  $w=0$ , (ii)  $z=H$  で  $T_z=0$  を用いて解くと

$$w(r, z) = \sum_{n=1}^{\infty} A_n K_0(g_n r) \sin(f_n z) \quad \cdots \cdots (1)$$

ただし、 $K_0(g_n r)$  は変形ベッセル関数、 $f_n = \pi(2n-1)/2H$ ,  $\eta = z_0/z_0$ ,  $D_s = \lambda/\mu$ ,  $D_0 = \mu'/\mu$ ,  $g_n = [\{\eta^2 + i(D_s(\eta^2 - 2) + 2D_0)\}f_n^2 - (\omega/z_0)^2]^{1/2}/(1+iD_s)^{1/2}$

一方、杭と土がその境界面上ですべきているときの様子を図-2に示しているが、このとき杭の単位長さ当たりの運動方程式は次のように書ける。

$$2\pi f_0 T_F = -m \frac{\partial^2 (v e^{i\omega t})}{\partial z^2} + E_p S \frac{\partial^2 (v e^{i\omega t})}{\partial z^2} + P(z) e^{i\omega t} \quad \cdots \cdots (2)$$

ここに、 $m$ : 杭の単位長の質量、 $E_p$ : 杭のヤング係数、 $S$ : 杭の断面積、 $v$  =  $w(z)$ : 杭の鉛直変位、 $P(z)$ : 杭頭の集中力  $P$  を鉛直に分布させたもの；

$$P(z) = P \delta(z-H) = \sum_{n=1}^{\infty} \frac{2P}{H} (-1)^{n-1} \sin(f_n z) \quad \cdots \cdots (3)$$

さらに  $T_F$  は摩擦応力であり、土のせん断応力と釣合っている。すなわち

$$T_F = -T_{rz}|_{r=r_0} = \sum_{n=1}^{\infty} \alpha_n w_n \sin(f_n z) e^{i\omega t} \quad \cdots \cdots (4)$$

ただし、 $w_n = A_n K_0(g_n r_0)$ ,  $\alpha_n = (\mu + i\mu') f_n K_0(g_n r_0) / K_0(g_n r_0)$ , ( $\cdot$ : 単位面積当たりの抵抗係数)

ここで、すべり変位をまとると、 $y(z, t) = w(z, t) - w(r_0, z) e^{i\omega t}$

これらを Fourier 級数で表わすと、 $y(z, t) = \sum_{n=1}^{\infty} y_n(t) \sin(f_n z)$ ,  $w(z) = \sum_{n=1}^{\infty} w_n \sin(f_n z)$ ,  $w(r_0, z) = \sum_{n=1}^{\infty} w_n \sin(f_n z)$   $\cdots \cdots (7)$

一方、式(4)の摩擦応力  $T_F$  はすべり変位  $y$  および同速度  $y'$  の関数で表めされることが多いので

$$T_F \rightarrow \sum_{n=1}^{\infty} [T_{fn} y_n(t) + C_n y'_n(t)] \sin(f_n z) \quad \cdots \cdots (8)$$

としたときは、係数  $T_{fn}$ ,  $C_n$  は誤差最小化法により求められる。そこで  $y_n(t) = Y_n e^{i(\omega t - \phi_n)}$

と表わすと、 $T_{fn}$ ,  $C_n$  は一般には  $T_{fn}(Y_1, Y_2, \dots; \phi_1, \phi_2, \dots)$ ,  $C_n(Y_1, Y_2, \dots; \phi_1, \phi_2, \dots)$  となり、これを求めるとは容易ではない。ここでは簡単のため、あらゆる連成項を無視すると、1自由度系の場合と同様になる。そこで  $T_{fn}$ ,  $C_n$  を実数として扱うため、 $\tilde{y}_n(t) = \text{real}[y_n(t)] + Y_n \cos(\omega t - \phi_n)$

とおくと、近似的に  $\tilde{y}_n \sim T_{fn}(\tilde{y}_n, \dot{\tilde{y}}_n) \tilde{y}_n(t) / \tilde{y}_n^2(t)$ ,  $C_n \sim T_{fn}(\tilde{y}_n, \dot{\tilde{y}}_n) \tilde{y}_n(t) / \dot{\tilde{y}}_n^2(t)$   $\cdots \cdots (11)$

ただし  $T_{fn}(\tilde{y}_n, \dot{\tilde{y}}_n) = \frac{2}{H} \int_0^H T_F(\tilde{y}_n, \dot{\tilde{y}}_n, z) \sin(f_n z) dz$ , (バーは時間平均を表わす)

さらに、 $y$  は図-3のような履歴摩擦応力を与え、すべり応力  $T_S(z)$  として図-4のような深さとともに増大す

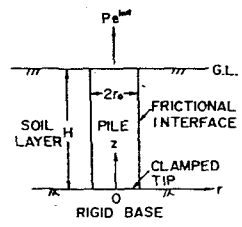


図-1 土と杭のモデル

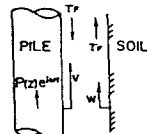


図-2 境界面の諸量

右の場合を考えると、式(11)より： $\tilde{v}_n \sim 2\tilde{\tau}_0/\tilde{a}_n H$ ,  $C_n \sim 4\tilde{\tau}_0/\pi\omega Y_n$ , ( $\tilde{\tau}_0$ :  $\tau_F$ の剛性)

-----(13)

ただし、 $\tilde{\tau}_n = 2\tilde{\tau}_0/a_n H + 2(-1)^{n-1}(\tilde{\tau}_0 - \tilde{\tau}_n)/(a_n H)^2$

-----(14)

ここで式(2)～(7)より  $v_n$  を求め、これを完全密着の解の形に変形すると

$$v_n e^{i\omega t} = \frac{2\pi r_0 a_n b_n (\zeta)}{-m\omega^2 + E_p S A_n^2 + 2\pi r_0 a_n} + \frac{2P(-1)^{n-1} e^{i\omega t}}{H} = \frac{2P(-1)^{n-1} e^{i\omega t}}{-m\omega^2 + E_p S A_n^2 + 2\pi r_0 a_n^2} = \frac{2P(-1)^{n-1} e^{i\omega t}}{-m\omega^2 + E_p S A_n^2 (1 + \delta_n)} \quad ----(15)$$

一方、式(4)～(8)より： $(a_n + b_n) Y_n + C_n \dot{Y}_n = a_n v_n e^{i\omega t}$

-----(16)

式(15)を式(16)に代入すると： $[b_n + \frac{a_n M_0}{M + L_N}] Y_n + C_n \dot{Y}_n = \frac{a_n}{M + L_N} \frac{2P}{H} (-1)^{n-1} e^{i\omega t}$

-----(17)

ここに、 $M_0 = -m\omega^2 + E_p S A_n^2$ ,  $M = M_0 + 2\pi r_0 a_n$ ,  $N = 2\pi r_0 b_n$ ,  $a_n = a_n + i b_n$ .

式(9)を式(17)に代入し、実部虚部の建立より  $\phi_n$  を消去すると、 $Y_n$  が得られる；

$$Y_n = \begin{cases} \frac{-4\tilde{\tau}_0 b_n M^2/\pi + \sqrt{D_n}}{(B_n M_n + a_n M_0)^2 + (B_n N + b_n M_0)^2} & ; P > P_{cr}^{(n)} \\ 0 & ; P < P_{cr}^{(n)} \end{cases} \quad ----(18)$$

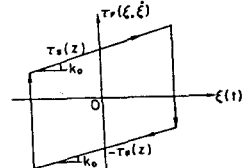


図-3 土壤抵抗力と変位の関係

ただし、 $P_{cr}^{(n)} = H/2 \cdot (4\tilde{\tau}_0/\pi) \cdot \sqrt{(M^2+N^2)/(a_n^2+b_n^2)}$  (：限界荷重)

$$, D_n = (2P/H)^2 (a_n^2 + b_n^2) [(B_n M + a_n M_0)^2 + (B_n N + b_n M_0)^2] - (4\tilde{\tau}_0/\pi)^2 [(M^2+N^2) B_n + (a_n M + b_n N) M_0]^2$$

3. 数値計算例 計算では  $\alpha_0 = 0$  (フリーリン摩擦)、 $D_0 = D_3 = 0.02$ ,  $V_0/2\beta_0 = 3$ ,  $\tau_0/\mu = 0.01$ , 粗さと排除した土との質量比  $\bar{m} = 0.1$  とした。図-5：比較的深い根入れでは、限界すべり荷重  $P_{cr}^{(n)}$  は振動数 ( $\omega$ ：無次元振動数) に依存しなく、かつすべり応力の勾配が大きい程低次モードの  $P_{cr}^{(n)}$  の低下が著しいことが示されている。図-6：荷重の増加につれて、すべりが上部から下部へ進行していくことが分る。図-7：荷重が最大限界荷重を越えると、側方の土の支持力は急速に失われ、当然細い杭ほど早くこの状態になる。

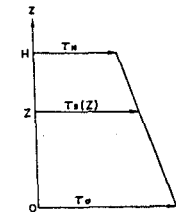


図-4 すべり応力の鉛直分布

図-8：硬い地盤 [：(a)] ほど杭に対する剛性の寄与は大きいが、細長比には注意しなければならない。

参考文献 1) 田辺見宏：日本地工学シンポジウム(1960)講演集、1966.10, pp.255-260, 2) T. Nagami and H. Novak : J. Earthg. Engng. Struct. Dynamics, Vol.4, pp.297-293, 3) 稲垣恵三：土木学会論文報告集、第272号、1978.4, pp.27-37. 4) R.K. Miller : J. App. Mech., ASME, Vol.44, Ser. E, No.4, pp.652-656(1977), 5) W.D. Iwan and I-Min Yang : J. App. Mech., ASME, Vol.37, Ser. E, No.2, pp.546-550(1972).

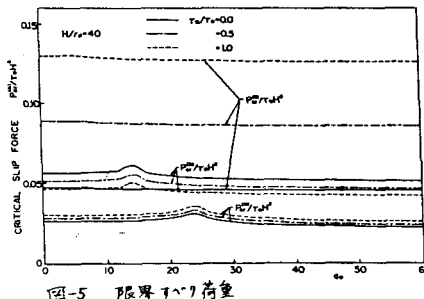


図-5 限界すべり荷重

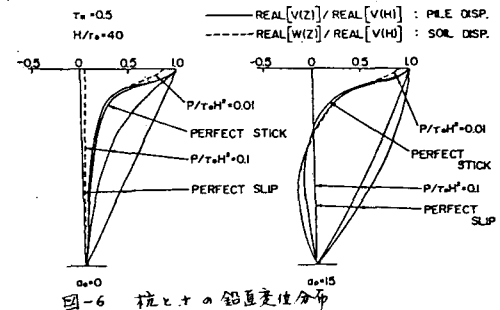


図-6 杭と土の鉛直変位分布

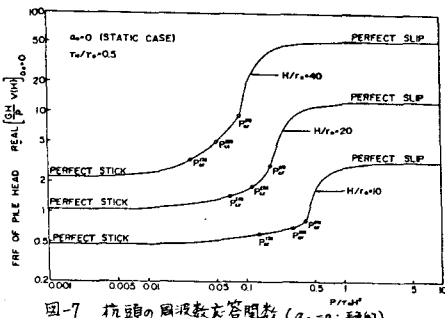


図-7 杭頭の剛性実験結果 ( $\alpha_0=0$ ; 静的)

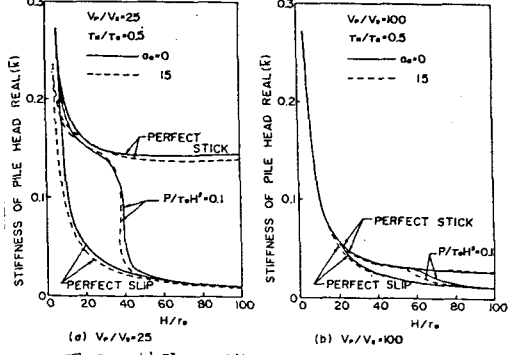


図-8 杭頭の剛性